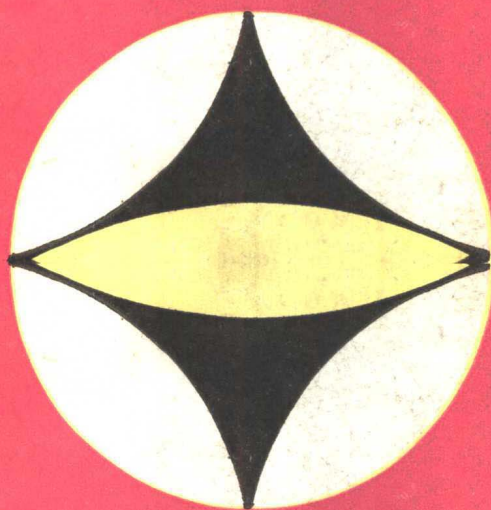


# 计算机辅助电路设计

潘明德 编著



复旦大学出版社

# 计算机辅助电路设计

潘明德 编著

复旦大学出版社

## 内 容 提 要

本书是在“计算机辅助电路设计”的讲义基础上改编而成的。全书共分七章，前五章介绍电路模拟的方法，后两章介绍有关电路设计的统计、优化方法。内容涉及到电路理论、网络图论、线性代数、数值积分、统计分析、回归正交设计、组合优化等知识，且将它们用于电路分析设计领域。本书还介绍了十年以来计算机辅助电路设计领域内某些新的成果，可以对以前出版的机辅分析方面的教材作一补充。除了理论知识和计算机算法以外，本书还以通用的电路模拟程序为例，简单介绍了电路分析程序的功能、组成及数据结构。

本书可作为高等院校有关专业学生或研究生的教材或参考书，也可供从事电子线路设计、生产的科技人员阅读参考。

## 计算机辅助电路设计

潘明德 编 著

责任编辑 林溪波

复旦大学出版社出版

(上海国权路579号)

新华书店上海发行所发行 复旦大学印刷厂印刷

开本 850×1168 1/32 印张 7.625 字数 224.000

1989年8月第1版 1999年8月第1次印刷

印数 1—3,000

ISBN7—309—00239—3/O·47

定价：1.55元

## 前　　言

计算机辅助电路设计(Computer Aided Circuits Design, 简称 CAD)是随着计算机的普及和集成电路的出现而迅速发展起来的一门学科。它熔电路理论、最优化方法、计算数学、计算机程序设计与软件工程学于一体,以设计用于电路分析、设计、测试、故障诊断的计算机软件为目的。

电路的计算机辅助设计(简称机辅设计)涉及的领域非常广。其中包括如下四个方面:1.数字逻辑电路的功能模拟、逻辑化简、测试生成、故障诊断;2.模拟电路的电路分析、灵敏度分析、容差分析和分配、合格率估计和最优中心设计;3.印刷电路和集成电路的布线布局、连通孔设计及自动制版;4.模拟及数字滤波器的机辅设计等。其内容所涉及到的数学方法是非常广泛的。本书侧重于模拟电路的 CAD,且重点介绍其中的数学思想和算法。

电路的 CAD 是近十多年来飞速发展起来的领域。目前,各种用途的实用软件、各种 CAD 工作站,作为商品,正以相当快的速度推向市场。对于这样一个飞速发展的领域,本书难以对它的研究方法作一系统的概括,只能介绍基本内容,包括问题的提出、解决的办法、目前的困难及活跃的课题。从而读者可以了解这一领域的基本发展过程及目前的动态,从中找到自己的兴趣所在,投身于这一研究领域。目前的 CAD 课程有三个侧重点:基本理论、计算机软件设计技巧及数学算法,学习从事 CAD 专业也可以各有所好。

本书的内容是这样安排的:计算机辅助电路分析(Computer Aided Circuits Analysis, 简称 CAA)是 CAD 的基础,所以我们首先介绍电路的直流分析、稳态分析、瞬态分析和灵敏度分析方法。然后,再介绍 CAD 方面的主要课题、常用优化方法及考虑元件容差的统计

## 电路分析设计方法。

我们采用粗线条的叙述方法，突出问题的提出和解决问题的办法，有些方法可以在一般计算方法的书中查到的就不再细述了。

目前，模拟电路 CAD 的进展比数字电路缓慢，其原因是：模拟电路工作情况复杂，基本上都是非线性电路，且所有元件都有偏差，这些偏差将影响整个电路的全部特性；更主要的困难是半导体器件及集成模拟电路块的广泛应用，系统功能多种多样，集成块的描述方法难以统一，半导体器件具有复杂的内部机理和外部特性，而可触及的测量端口又很有限。例如晶体三极管就有放大区、饱和区、截止区多种工作状态，又可分为小信号、大信号、非线性应用。根据有限端口上测得的参数而推算建立的模型其适用范围都很有限。模型与实际情况不符，将直接影响 CAA 的计算结果的精度，从而影响对此结果的可信度。所以，在模拟电路 CAD 中，半导体器件及模拟集成电路模型是最基本而又迫切的课题，但目前却又是最薄弱的。由于以上种种原因，模拟电路 CAD 领域中还有许多待开垦的土地，这正是目前全世界从事这一工作的科技人员的努力方向。

在电路 CAD 中遇到的问题在其他领域如机械、建筑 CAD 中也会遇到。本书介绍的有些计算机算法同样会适用于这些领域，本书也可作为其他领域 CAD 工作者的参考书，在问题的数学描述及解决方法上会对他们有所启发。

编者在 CAD 领域的研究工作是在凌燮亭教授指导下进行的，他对本书进行了最后的审定工作。编者在阅读 SPICE 源程序的过程中，也曾得到章开和副教授的许多帮助。在此向他们表示衷心的感谢。

# 目 录

<b>前 言</b> .....	1
<b>第一章 计算机辅助电路分析概述</b> .....	1
第一节 输入文件的编译.....	3
第二节 半导体器件模型.....	8
第三节 电路方程.....	20
<b>第二章 直流分析</b> .....	33
第一节 直流分析方程的特点.....	33
第二节 非线性方程组的解法.....	36
<b>第三章 正弦稳态分析</b> .....	51
第一节 线性代数方程组的解法.....	52
第二节 稀疏矩阵技术.....	62
第三节 符号函数法.....	78
<b>第四章 瞬态分析</b> .....	98
第一节 状态方程的建立.....	101
第二节 状态方程的求解.....	108
第三节 瞬态伴随模型.....	129
第四节 “第三代”模拟技术与松弛法.....	133
<b>第五章 灵敏度分析</b> .....	141
第一节 零极点灵敏度.....	142

第二节	德律根伴随网络.....	147
第三节	增量等效网络方法.....	155
第四节	回归正交法计算灵敏度.....	159
<b>第六章</b>	<b>统计电路的分析设计.....</b>	<b>175</b>
第一节	合格率估计.....	176
第二节	容差分析.....	186
第三节	容差分配.....	194
第四节	设计中心化.....	197
<b>第七章</b>	<b>计算机辅助布线布局.....</b>	<b>202</b>
第一节	动态规划.....	205
第二节	NP完备问题及方法简介 .....	222

# 第一章 计算机辅助电路分析概述

在接触 CAA 的具体方法以前,读者最好有机会先运行一个近年来 CAA 方面最通用的程序——SPICE, 从而对计算机辅助电路分析有一个感性认识。

所谓电路分析,已知的是电路结构、各元件的标称值、有源器件可以从手册上或设计师那里得到的参数值、直流供电状态及交流信号激励状态,通过电路分析希望得到的是各种电路特性,如频响特性、电路对脉冲信号的瞬态响应、振荡器起振过程、电路功耗效率等。以前这类分析都是通过实验来完成的,因为实验结果要比人工估算可靠得多。

但在集成电路的设计、生产中,用实验板搭电路试验的传统方法受到了冲击。因为在集成电路投片以前,无法对电路作实际测试(电路还不存在),而分立元件电路又不能完全等效于集成电路,所以迫切要求用计算机作为辅助电路分析的工具,建立适用于电路分析的方程及算法,借助计算机的巨大计算能力,在电路设计完成以后并在投产之前,对设计进行各项指标考核。这样的考核是否可信,取决于计算机辅助分析结果是否与实际情况吻合。一个比较好的计算机辅助分析程序从产生到成熟,一般都经历了十来年检验、修改的过程。在集成电路发展的同时,计算机辅助分析程序也逐步充实、完善起来。

用计算机帮助电路分析的程序至少应包括四部分:

## 一、输入电路编译器

用户要将待分析电路的结构(即元件之间的联接方式)及元件值告诉计算机,让计算机能“读懂”电路图,电路分析程序应有一套自定的电

路描述语言及其编译器。更先进的 CAD 工作站具有图形编辑功能，用户可以直接输入电路图，图形编辑器会用 SPICE 规定的电路描述语言，书写该电路的 SPICE 输入文件。

## 二、元器件模型库

晶体管等有源器件是非线性元件，在电路分析时，要用与它们性能等效的电路来代替它们。这样的等效电路称之为模型。在电路分析程序中，一般都备有电阻、电容、电感、互感、独立电压电流源、受控源、传输线及四种半导体器件：二极管、双极型晶体管、结型场效应管、MOS 场效应管等器件模型。先进的 CAD 工作站中还备有运算放大器、比较器、采样保持电路等小规模集成电路的宏模型，而且以它们的型号为序建立了数据库，可以用元件型号直接调用，如 3 DG 6、 $\mu$  A 741 等。根据对电路分析不同精度的要求，模型的复杂程度也可以作相应的选择，在输入文件的模型语句中，用类型项指明，计算机将自动地把选定的模型“安装”到器件所连接的节点之间。

## 三、输出打印部分

电路分析程序具有许多功能，用户对分析内容及输出结果都可以自由选择，通过作业卡及输出打印卡告诉计算机。分析程序内的作业卡编译器及输出卡编译器将处理这些选择，电路分析程序将提供用户需要的结果、曲线、表格。

## 四、分析计算部分

这是程序的核心部分，包括完成所有分析功能的子程序。在这些子程序内包括各种具体算法及在运算速度、存储量、收敛性、精度等方面的各种考虑及其措施。

电路分析的主要功能有：

(1) 直流分析 计算电路静态工作点、直流传输特性、直流传递函数、器件的特性曲线、直流灵敏度。

(2) 交流小信号分析 计算电路的频率特性、相位特性、噪声功率及小信号失真。

(3) 瞬态分析 按用户规定的时间间隔计算瞬态波形，并且可以对输出波形进行傅里叶分析、给出傅里叶级数的系数。

(4) 给出不同温度下的以上三种分析。

根据用户所需分析的不同项目，由作业控制语句把用户的选择告诉计算机。

下面，我们以 SPICE 程序为例，介绍输入文件编译、数据结构、晶体管模型、电路方程等基本概念。各种分析中所用到的详细算法将在二～四章中分别进行介绍。

## 第一节 输入文件的编译

### 一、自由格式电路描述语言及其编译器

通常，一个实用化程序，其使用方便与否决定了程序的普及性和生命力。当然，用户使用越方便，程序本身也就越复杂。SPICE 采用的自由格式电路描述语言是一种比较方便的输入方式，而 CAD 工作站上电路草图直接输入方式是在方便用户方面的又一进步。

所谓自由格式，是相对固定格式而言的。早期的电路分析程序，电路的拓扑信息都是以数组方式读入的，用整型数组存放节点号，用实型数组存放元件值，用户键入电路信息时，次序与数组类型都不能搞错。

自由格式电路描述语言更符合用户的思维习惯，如：

R 1	1	2	1 kΩ
C 2	2	0	0.22 μF

分别表示电阻 R 1 接于节点 1 与节点 2 之间，电阻值为  $1 \text{ k}\Omega$ 。电容 C 2 接于节点 2 与地之间，电容值为  $0.22 \mu\text{F}$ 。输入文件编译器将所有内容作为字符方式读入，然后把语句中的信息转化为三种数据类

型：元件名 R1、C2 为文字型变量，节点号为整型变量，元件值为实型变量，再将 k、 $\mu$  等约定的符号转化为  $10^3$  或  $10^{-6}$  与元件值相乘，分别对于不同类型元件，将所有数据存放于程序指定的数据结构里。

由于各类元件的信息量不同，处理也不同，SPICE 程序规定了各类元件的开头字母，电阻 R、电容 C、电感 L、互感 K、电压控制电压源 E、电压控制电流源 G、电流控制电压源 H、电流控制电流源 F、独立电压源 V、独立电流源 I、二极管 D、双极型晶体管 Q、结型场效应管 M、子电路 X、传输线 T。所有作业控制语句、结束语句、模型定义语句、可选项语句都以“.”开头，以此和元件描述语句区别。

每从输入文件中读入一行，首先辨认第一个字母，然后对各类元件分别处理存放。程序流程如图 1.1-1 所示。

在每个处理框内有一个共同的功能，就是要把字符转化为数——称为拼数。因为字符 1 与数字 1 的内部编码是不同的。为了避免各类机器内部编码的差异影响程序的通用性，拼数程序一般也用高级语言编写。下面用一个将字符串 IAQ 转化为整型数的流图 1.1-2 来说明拼数过程。

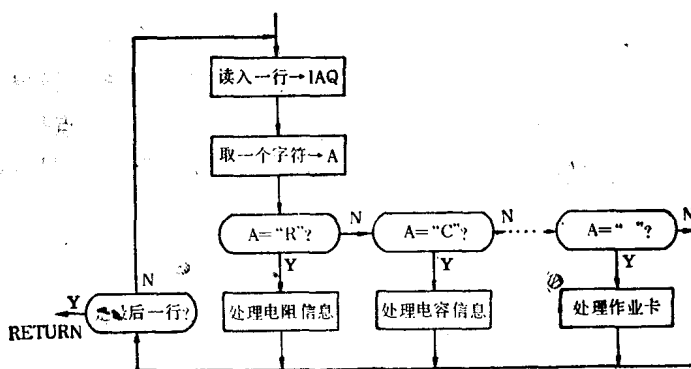


图 1.1-1

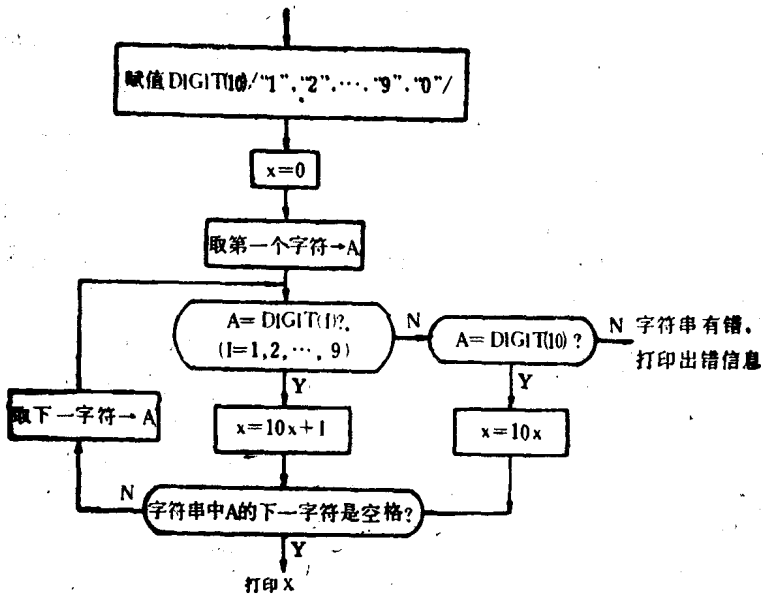


图 1.1-2

拼实数的原理与拼整数相同，只是要分小数点前及小数点后两部分分别处理，然后相加。

## 二、数据结构及动态内存管理

由于元件种类及性质不同，它们所需内存单元数是不同的。例如，有的元件是二端器件，有的是三端或四端器件，若用节点数组  $N_1(\cdot)$ 、 $N_2(\cdot)$  来存放二端器件的两个节点，那么这样的数组该设几个才能适应所有电路形式？非线性元件的系数放在哪里？由于电路各不相同，元件种类繁多，势必造成数组繁多，且长短不一。SPICE 程序为了解决以上问题，采用一维数组存放所有数据，实型、整型、文字型变量都用等价语句使它们在一维数组中共存，又用一个数组专用存放指针，构成一个指针链。各类数据在一维数组中有秩序地排列，顺着指针链可以

很方便地找到所需信息。

例如 SPICE 中元件类型共有 15 种，则建立一维数组 LOCATE(15) 专门存放各类元件中第一个元件的存放地址。（若电路中不包含某类元件，则相应的 LOCATE(I)=0。）而在此第一个元件的数据块中又包含了下一个元件的存放地址。下面以电阻为例，说明 SPICE 中的指针链与数据块。

LOCATE(1) 是编译器读电路输入文件时读到的第一个电阻在 NODPLC 数组中的位置，记 LOC=LOCATE(1)。LOC 所指数组 NODPLC 中一个数据块内分别存放：

NODPLC(LOC+0)=下一个电阻的地址(新 LOC)

NODPLC(LOC+1)=LOCV, LOCV 指向 VALUE 数组 (实型) 中对应地址。

NODPLC(LOC+2)=第一个节点号

NODPLC(LOC+3)=第二个节点号

VALUE(LOCV)=元件名(文字型)

VALUE(LOCV+1)=元件值

VALUE(LOCV+2)=导纳值

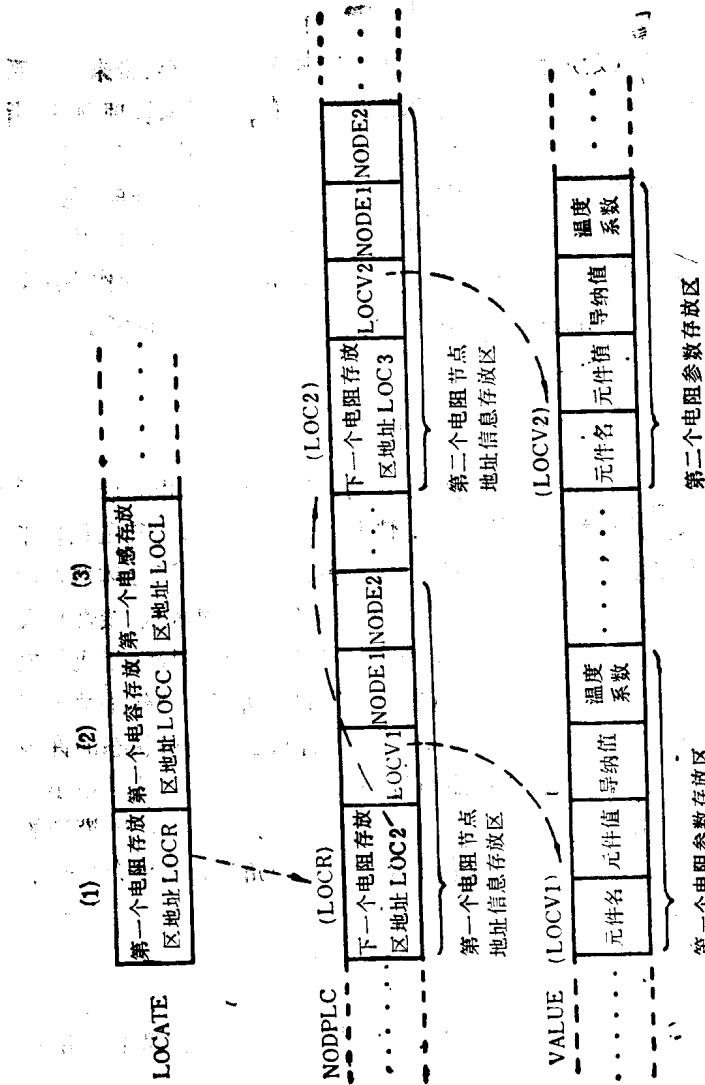
VALUE(LOCV+3)=温度系数

用图 1.1-3 来形象地说明指针链。方格内为存放内容。

数组 VALUE 与 NODPLC 在同一等价区内，实际上是在一维数组中交叉存放。省略号表示许多单元存放其他内容。如果输入文件中第一个电阻后面接着电容，那么该电容的数据块将紧接在第一个电阻的数据块之后。

有了这样的数据结构，可以很方便地找到所有元件的有关信息，存取和修改都很方便。由于各类元件需存放的信息量不同，它们所占的数据块长度也不相同。例如每个晶体二极管，在 NODPLC 中占 16 单元，在 VALUE 中只占 8 单元，它所用到的模型参数又在 VALUE 中占 19 单元。每个双极型晶体管在 NODPLC 中占 36 单元，在 VALUE 中占 22 单元，它所用到的模型参数在 VALUE 中占 40 个单元。只要知

图 1.1.3



道某一管子的首地址 LOC，可以通过指针链很方便地存放它的参数、电压电流、它在导纳阵中的位置，又可以很方便地从中取出信息进行解方程运算。

当然，由于一维数组存放，整型、实型、字符变量共存，带来了一系列管理上的麻烦。SPICE 有专门的动态内存管理程序来管理所有指针及内存。动态内存管理完成的主要功能是测量数据块长度，移动或拷贝数据块，释放数据块等等。动态内存管理使内存使用合理，在一定的计算机容量下，可算电路规模大，对电路的制约少。同时动态内存管理也带来了指针过多、程序可读性差等缺点。新的计算机操作系统具有虚拟存储功能，比用高级语言实行动态内存管理又方便得多了。

## 第二节 半导体器件模型

一个电路分析程序的运算结果能否精确地模拟实际电路状态，关键在于半导体器件模型是否符合实际情况。非线性电路，尤其是包含半导体器件的电路模拟比线性电路要困难得多，这是因为半导体器件的物理特性复杂，在实际应用中，它们又可能工作在不同区域（线性放大区、饱和区、截止区等），要想用由电阻、电容、二极管、受控源组成的电路来等效半导体器件特性是十分困难的。为此，研究者们作了数十年的努力，曾经得到了无数的经验公式，建立了针对各自使用状态的许多模型。读者在学习电子线路时可能用过小信号H参数模型，就是在小信号条件下三极管的一个简单模型。一般说，考虑的情况越复杂，模型的复杂程度也越高。现在，我们仅从电路设计者的角度，简单介绍一下目前常用的半导体器件模型。

### 一、结型二极管模型

图 1.2-1 中画出了 PN 结二极管的交流全局模型，模型中有五个元件：

1.  $R_B$ : 半导体体电阻和接触电阻。典型值为

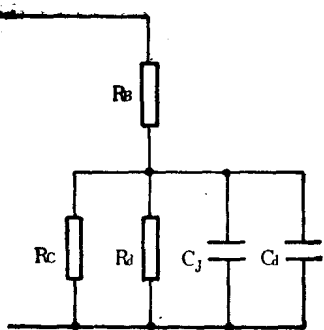


图 1.2-1

$$0 < R_B < 100 \Omega.$$

2.  $R_o$ : 结的漏电阻。典型值为

$$R_C > 1 \text{ MEG} \Omega$$

3.  $R_d$ : 二极管 PN 结的非线性电阻，由  $V_d - I_d$  特性决定其值。

$$I_d = I_s (e^{\frac{q}{n} \cdot \frac{V_d}{kT}} - 1), \quad (1.2-1)$$

其中  $I_s$  为二极管饱和电流。典型值：硅管  $10^{-12} \text{ mA} < I_s < 10^{-6} \text{ mA}$ ，  
锗管  $10^{-8} \text{ mA} < I_s < 10^{-2} \text{ mA}$ ；

$q$  为电子电荷， $q = 1.6 \times 10^{-19} \text{ C}$ ；

$k$  为波尔兹曼常数， $k = 1.38 \times 10^{-23} \text{ J/K}$ ；

$T$  为结的开氏绝对温度；

$n$  为发射常数，典型值为 1 或 2。

4.  $C_J$ : 耗尽层的非线性势垒电容

$$C_J = \frac{C_{J0}}{\left(1 - \frac{V_d}{\phi_a}\right)^m}, \quad V_d < \phi_a \quad (1.2-2)$$

其中  $C_{J0}$  为二极管零偏置势垒电容；

$\phi_a$  为二极管自建电势，典型值：硅  $0.3 \sim 0.5 \text{ V}$ ，锗  $0.7 \sim 0.8 \text{ V}$ ；

$m$  为结电容梯度因子，典型值  $0 < m < 1$ 。

5.  $C_d$ : 非线性扩散电容, 其值取决于结电流  $I_d$ :

$$C_d = \frac{\tau_1 q}{nkT} (I_d + I_s), \quad (1.2-3)$$

其中  $\tau_1$  为渡越时间。

总之, 二极管模型包含五个元件, 8个物理参数:  $I_s$ 、 $R_B$ 、 $R_C$ 、 $n$ 、 $C_{J0}$ 、 $\phi_d$ 、 $m$ 、 $\tau_1$ 。它们是由器件的工艺条件决定的, 一般都用测量的方法得到。

## 二、双极型晶体管(BJT)的物理模型

常用的有 Ebers-Moll 模型(简称 EM 模型)及 Gummel-Poon 积分电荷控制模型。EM 模型, 按其复杂程度由低到高可分为  $EM_1$ 、 $EM_2$ 、 $EM_3$  模型。复杂程度不同的 EM 模型其适用性不同。 $EM_1$  模型适用于一般直流分析。 $EM_2$  模型在精度与计算速度方面有较好的折衷。 $EM_3$  模型最复杂, 一般仅用于对精度有特殊要求的场合。

### 1. $EM_1$ 模型

模型如图 1.2-2 所示。其中不包含电容, 是最简单的直流全局模型。

图 1.2-2 中, (b) 图是以两个 PN 结注入电流  $I_R$ 、 $I_F$  为参考电流的, 故称其为注入型  $EM_1$  模型。(c) 图是以晶体管少数载流子正反向传输电流  $I_{CO}$  和  $I_{EO}$  为参考电流的, 故称其为传输型  $EM_1$  模型。图中各符号含义是:

$$I_F = \frac{I_{CO}}{\alpha_R} = \frac{I_{EO}}{1 - \alpha_F \alpha_R} \left( e^{\frac{q}{kT} V_{BE}} - 1 \right), \quad (1.2-4)$$

$$I_R = \frac{I_{EC}}{\alpha_R} = \frac{I_{CO}}{1 - \alpha_F \alpha_R} \left( e^{\frac{q}{kT} V_{BE}} - 1 \right), \quad (1.2-5)$$